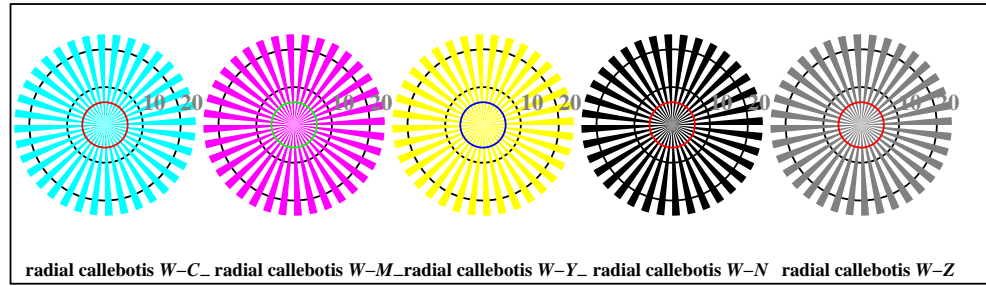


TF931-1, Fig. B4W-: 16 équidistants étapes W-C_ ; W-M_ ; W-Y_ ; W-N ; $rgb/cmky0$ set($rgb/cmky$)color

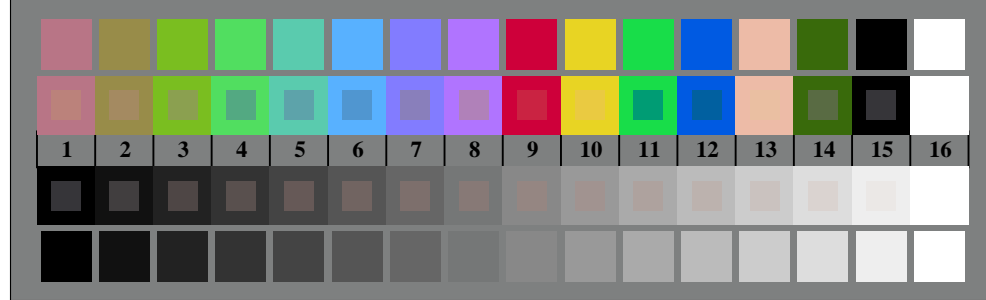
+:-.	lmno	pqrs	tuw
xyz;	hijk	lmno	pgrs
tuvw	defg	hijk	lmno
pqrs	!abc	+:-.	hijk
lmno	xyz;	xyz;	defg
hijk	tuvw	tuvw	!abc
defg	defg	defg	6 N C_M_Y_Z
!abc	!abc	8 N C_M_Y_Z	
10 N C_M_Y_Z			

TF930-3, Fig. B1W-: le motif fleuri, 14 CIE test couleurs et 2 + 16 gris étapes (sf); PS operator 4 colorimage

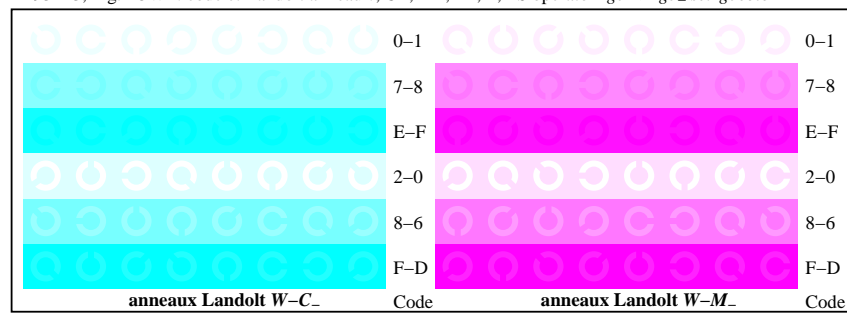


radial callebotis W-C_ radial callebotis W-M_ radial callebotis W-Y_ radial callebotis W-N_ radial callebotis W-Z

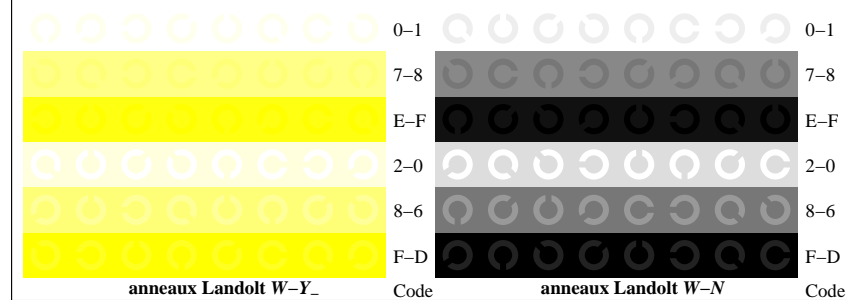
TF930-5, Fig. B2W-: radial callebotis W-C_ ; W-M_ ; W-Y_ ; W-N ; PS operator $rgb \rightarrow rgb$ _setrgbc



TF930-7, Fig. B3W-: 14 CIE test couleurs et 2 + 16 gris étapes (sf); $rgb/cmky0$ set($rgb/cmky$)color



TF931-3, Fig. B5W-: code et Landolt anneauN; C_- ; M_- ; Y_- ; Z ; PS operator $rgb \rightarrow rgb$ _setrgbc



TF931-5, Fig. B6W-: anneaux Landolt W-C_ ; W-M_ ; PS operator rgb setrgbc

TF931-7, Fig. B7W-: anneaux Landolt W-Y_- ; W-N ; PS operator rgb setrgbc